

V-1 鉄骨コンクリート筋の不完全合成を考慮した剛度評価法

日本鋼管

正会員 米原 隆三

日本鋼管

正会員○加納 勇

1. まえがき

鉄骨コンクリート柱の曲げ剛度の評価法を得るべく、単純析に対する曲げ載荷試験と弾塑性解析を行ったが、その結果、実験値と理論値との間に、剛度にして約15%程度の違いが出た。その要因について。

- 1) 上フランジ下側(表側)部分へのコンクリート打ち込みが不完全なため。
- 2) 理論解析では、鋼とコンクリートとが完全合成であるとしているため。
- 3) 実際に打ち込まれたコンクリートの評価が困難なため。

等、が考えられる。そこで、鋼とコンクリート両のすれを考慮した、即ち要因2)の立場に立った弹性式を求めるうことになった。これまで合成析(橋梁)の不完全合成を考慮した剛度評価法はいくつか発表されているが、鉄骨コンクリート析については、あまり例をみない。このあたりの卓見について、ただ要因2)のみに立脚して考えることが正しいかどうか、問題を含むが、剛度評価の一方法として発表することとした。

2. 曲げ剛度

実際、鋼とコンクリートとの間に、"すれひね"が発生すれば、曲げ剛度(鋼換算断面2次モーメント I_{vs})は軸方向(X)変化することになり、近似的にそれを一定値に評価しようとすることは理論上かなりの無理を行つことになる。

まず、次のようないくつか仮定を行う。

- 1) コンクリート及び鋼は、それ自身独立に平面の保持を行う。
- 2) コンクリート及び鋼は、任意断面において同一の曲率中心とする。
- 3) コンクリートは弾性体で、引張り応力は受けとれない。
- 4) コンクリートと鋼とは"すれひね"で結ばれている。すれせん断応力 C_{bs} とすれひねとは線形的な $C_{bs} = -R \cdot \delta_d$ の関係をもつ。Rはひね定数(kg/cm^3)。

任意断面における応力と、外力 N , M_{ps} (P_s に関して)との釣り合いの関係より、次の式を得る。尚 $N = 0$ 。

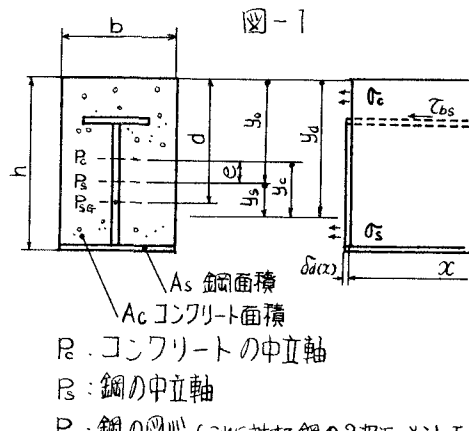
$$\int_{A_c} \sigma_c dA + \int_{A_s} \sigma_s dA = 0 \quad (1) \quad \therefore \frac{b}{2n} (y_0 - e)^2 + A_s (y_0 - d) = 0 \quad (2)$$

$$\int_{A_c} \sigma_c \cdot y_s dA + \int_{A_s} \sigma_s \cdot y_s dA = M_{ps} \quad (3) \quad \therefore \frac{E_s}{\rho_s} I_{vs} = M_{ps} \quad (4)$$

$$(4) \text{にあて} \quad I_{vs} = \frac{b}{3n} (y_0 - e)^3 + I_{psg} + A_s (d - y_0)^2 + \frac{be}{2n} (y_0 - e)^2 \quad (5)$$

である。

(5)により I_{vs} を得るには、(2) の他に、もう1つの条件式が必要である。 δ_d と R を介しての C_{bs} とかく、これを導びくこととなる。



R : コンクリートの中立軸

ρ_s : 鋼の中立軸

I_{psg} : 鋼の回心 (これに対する鋼の2次モーメント I_{psg})

任意点 y_d 处の鋼とコンクリートのひずみを ϵ_{sd} , ϵ_{cd} とすれば、これらと e との間に次の関係がある。

$$\epsilon_{sd} = \frac{M_{ps}}{E_s I_{vs}} (y_d - y_o + e) \quad (6)$$

$$\epsilon_{cd} = \frac{M_{ps}}{E_s I_{vs}} (y_d - y_o) \quad (7)$$

$$\frac{d}{dx} \delta_d = \epsilon_{cd} - \epsilon_{sd} \quad \therefore \frac{d}{dx} \delta_d = \frac{e}{E_s I_{vs}} M_{ps} \quad (8)$$

任意断面の鋼側に働く軸力を N_s とすれば、鋼側に働くすべりせん断応力 C_{bs} と次の関係をもつ。

$$N_s(x_o) = \int_{A_s}^{\infty} \delta_d dA = \int_0^{x_o} C_{bs} ds dx + N_{so} \quad (9)$$

ここで、 δ_d は鋼とコンクリートとのすべり境界での積分を意味し、 N_{so} は境界値 ($N_s(x=0)$) である。

(8) から、 δ_d は x のみの関数であることわかり、さらに $\delta_d ds$ を定数 L_c とすれば、仮定4) より、

$$\frac{E_s}{\rho_s} A_s (d - y_o) = - R L_c \int_0^{x_o} \delta_d dx + N_{so} \quad \text{を得る。} \quad (10)$$

さて、外力が対称的に働き、モーメント M_{ps} が次のような形で表現できることとする。

$$M_{ps} = \sum_{i=1,3,5,\dots} M_i \cdot \cos(i\pi/l \cdot x) \quad l: \text{スパン} \quad (11)$$

さらに、 δ_d 分布を得るために、次のような仮定を行う。

$$\delta_d = \sum_{i=1,3,5,\dots} D_i \cdot \sin(i\pi/l \cdot x) \quad (12) \quad e/I_{vs} = \text{const.} \quad (13)$$

$$\text{上記仮定をどにして、(8) より} \quad D_i = \frac{1}{i} \cdot \frac{l}{\pi} \cdot \frac{e}{E_s I_{vs}} \cdot M_i \quad \text{を得る。} \quad (14)$$

結局(14)と(12)を代入して得られる δ_d を(10)に代入し、境界値 $N_s(x=\frac{l}{2}) = 0$ を考慮すれば、

$$e = \frac{E_s A_s}{R L_c (\frac{l}{\pi})^2 (d - y_o)} \frac{\sum M_i \cos i\pi/l \cdot x}{\sum (\frac{l}{\pi})^2 M_i \cos i\pi/l \cdot x} \quad \text{を得る。} \quad (15)$$

このままであると式は複雑になるので、式(15)より $i=1$ の項のみ採用することにし、(15), (12)を整理して

$$e = \mu (d - y_o) \quad (16) \quad \mu = \frac{E_s A_s}{R L_c (\frac{l}{\pi})^2} \quad (17)$$

$$y_o = \frac{1}{(1+\mu)^2} \left[- \left\{ \frac{n A_s}{b} - (1+\mu) \mu d \right\} + \sqrt{\left\{ \frac{n A_s}{b} - (1+\mu) \mu d \right\}^2 - (1+\mu)^2 \left\{ \mu^2 d^2 - \frac{2 n A_s d}{b} \right\}} \right] \quad (18)$$

を得る。実験的に行なわれた結果によれば、上式より e , y_o を得ることができ、 I_{vs} は(5)によって求まることになる。

3. 実験値と理論値

試験体、載荷法及び測定値を図-2, 図-3 に示す。試験体は4種類、各1体の4体で、その鉄骨は、板厚9 mm, 材質S41鋼板(弾塑性解析のO-E曲線は、JIS1号引張試験結果とともに完全弾塑性形とした)のビルトアップによりなってある。コンクリートは最大粒径20 cm, スランプ10 cm, $\gamma=240 \text{ kg/cm}^3$ の仕様内容をもつ早強コンクリートで、材令51日のシリンダー強度試験によるO-E曲線と弾塑性解析に使用した2次曲線を図-4に示す。

図-5に実験値の荷重P-たわみδ曲線、及び弾塑性解析により得たP-δ曲線を示すが、鉄骨コンクリート弾塑性解が、その弾性域割配において実験値のそれより高い値(約15%高)を示していることに気付く。

この解釈は、付帯的なものであつてため、本質的な試験であるP-δ曲線を求めるための押し抜きせん断試験を行つた(1)。しかし、この種の報告によれば、これはかなり広い範囲での値を示しており、ほぼ $10 \text{ kg/cm}^3 \sim 200 \text{ kg/cm}^3$ である。試験体の有効付着長 L_c は上フランジ下面の部分を無視して81 cmとし、これにより μ を変化させ、 μ , I_{vs} , y_o の実験値を図示したのが図-6である。図-7はひずみ分布を示すが、これから各試験体ごとに $y_o=14.5$ cmと読み取れる。この y_o を図-6に代入すると、 $\mu=1.08$ ($R=42 \text{ kg/cm}^3$), $I_{vs}=6650 \text{ cm}^4$ を得る。この

図-2 試験体

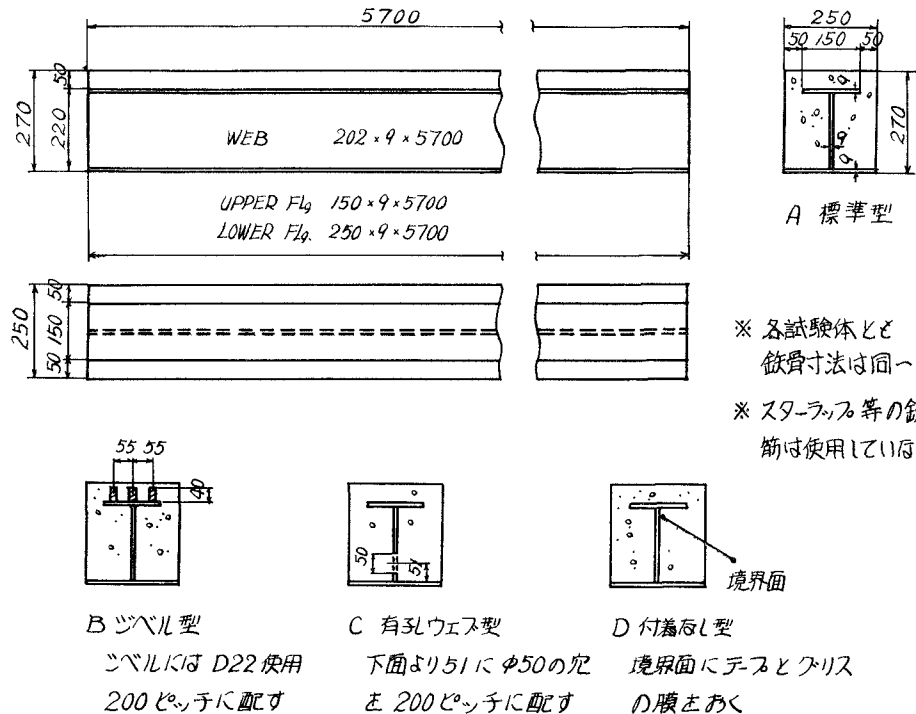
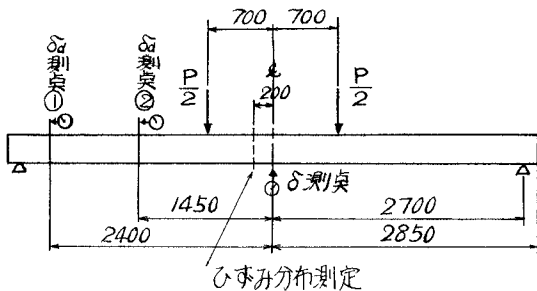
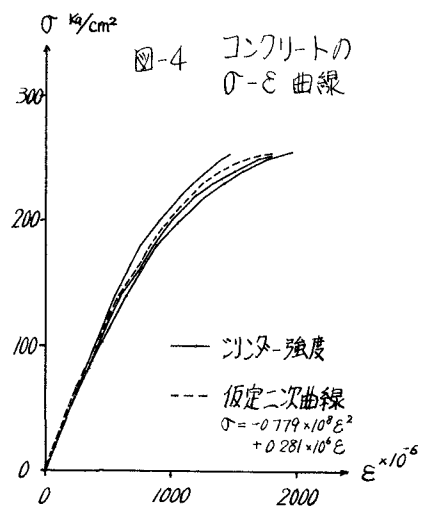


図-3 載荷法・測定



I_{vs} をととの弾性値を図-5 に示すが、ほぼ実験値の示すと配に一致する。尚 $M=0$ (完全合成) での弾性値も同時に示すが、これは弾塑性解析の示すと配に一致している。図-8 には、ずれ α の荷重変化を示す。これによると実験値の傾向として、次のようなことを示している。測定①より②の方がより大きなずれを見せており(とくに B は顕著、A, C については完全なずれの発生後、これは逆転し理論上仮定した分布と同一傾向となる)。4 試験体とも特徴あるずれ曲線を示しており、これは破壊耐力に関係している。又、これに対し弾性解は、A, B, C に比べ大きなずれ量を示している。これは、簡易的な曲げ剛度の評価にこの解析の目的があったが、そのあまり、ずれ分布、 α とコンクリートの塑性との構造、等十分に評価しきれぬ点のありわれと思われる。しかし、それを考慮した簡易式としての有用性はあるから、さらには改良を

図-4 コンクリートの $\sigma-\varepsilon$ 曲線



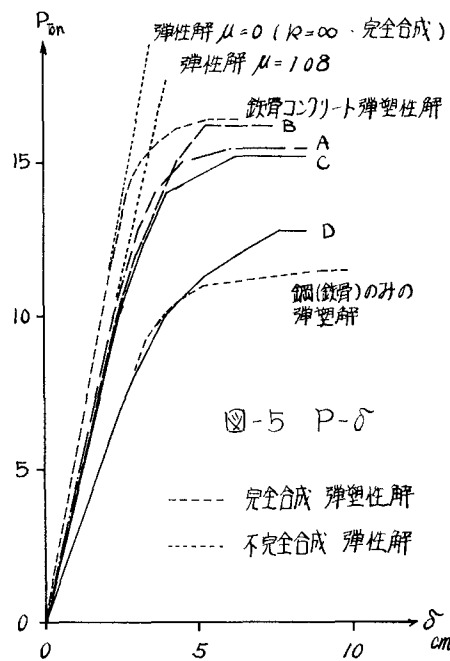


図-5 $P-\delta$

----- 完全合成 弹塑性解
----- 不完全合成 弹性解

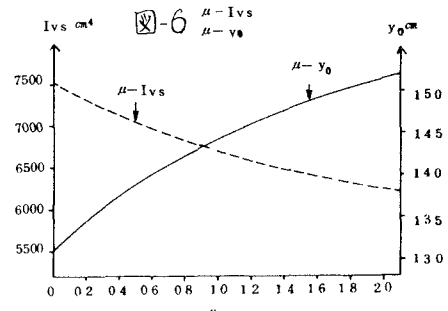


図-6 $\mu - I_{vs}$
 $\mu - y_0$

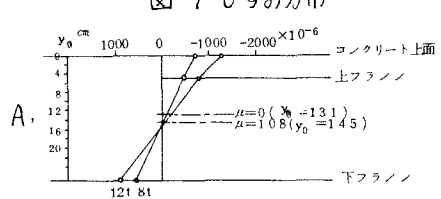
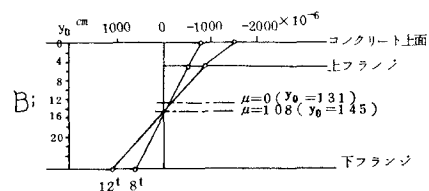


図-7 ひずみ力分布



加えることにより、実用化への期待は
もてる。

4.あとがき

コンクリートの塑性(鉄骨コンクリート)解析では、コンクリート面積比が高いため合成桁であつから以上にこの考慮が必要と思われる)。それとすべしん強度との関係、すれ破壊、等東は解析上、深い問題を含んだ例であろうかと思います。今回、その必要性から強引にもそれを考慮した弾塑性簡易式として、一定断面2次モーメント I_{vs} の評価を行ったが、今後さらに上記の点を考慮した解析、評価法を少しづつと進めていく所存であります。

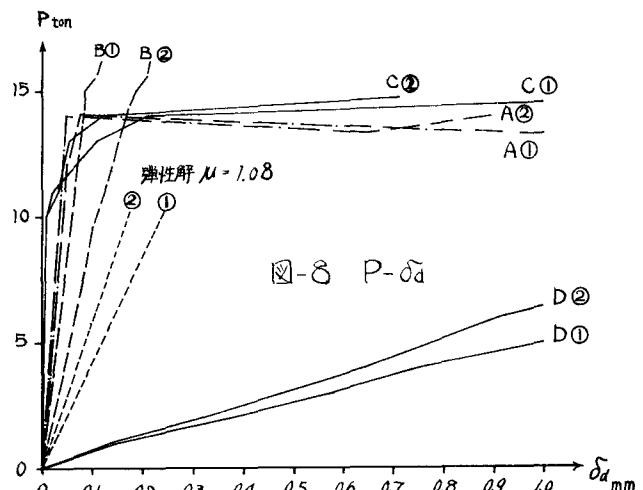


図-8 $P-\delta_d$

参考文献

- 若林寅、高田周三、斎藤光 「鉄骨鉄筋コンクリート構造(建築構造学大系)」 勲国社
- 山本聰 「不完全合成桁の曲げ理論」 土木学会論文集第67号
- 橋善雄、足立義雄 「不完全合成桁について」 土木学会論文集第112号
- 佐々木道夫、高尾孝二 「弾性合成構造の計算法」 橋梁と基礎 1973.12 ~ 1974.2